

中国科学院地球物理研究所

动力气象学論文集

顧震潮等著

科学出版社

中国科学院地球物理研究所

动力气象学论文集

顾震潮等著

科学出版社

1961

內 容 簡 介

本論文集是由中国科学院地球物理研究所數值預報小組在 1958—1959 年所进行的一部分工作的研究报告彙集而成。

論文集的第一部分包括三篇論文，前二篇运用控制論的觀點，討論了氣象學中的一些問題。第一篇論文把大气看成是在太阳輻射的輸入下經常自動調整的系統的情況下，研究了大气的一些過程。第二篇运用在自動調整理論中的传递函数分析方法，对一个长期數值預報的綫性模式进行了分析，并討論了大气的不同情況对太阳輻射扰源的响应問題。第三篇运用了 A.M. 李雅普諾夫(Ляпунов) 穩定性理論，討論了大尺度天气過程的不稳定問題。

論文集的第二部分是包括有关大气加热過程和长期數值預報問題的四篇論文。第一篇利用热力学方程和月平均气候資料，計算了北半球范围对流层下半部热源分布的年變，并討論了它們和环流年變的关系；在第二篇論文中，利用同样方法計算了 1956 年和 1957 年冬季的加热情況，了解了个別年份大气加热情況和平均情況的差別及其和流場的关系；第三篇論文利用綫性化的兩層模式，討論了固定热源扰動对于流場作用的非定常問題。最後一篇提出了一个考慮輻射等加热過程、摩擦作用和大气运动相互影响的动力模式，并用綫性化方法作了一些討論。

本論文集可供氣象研究工作者、氣象业务工作者以及氣象院校教師参考。

動力氣象學論文集

顧震潮 等著

*

科學出版社出版 (北京朝陽門大街 117 号)
北京市書刊出版業營業許可證出字第 061 号

中國科學院印刷廠印刷 新華書店總經售

*

1961 年 12 月 第一版
1961 年 12 月第一次印刷
(京) 0001—4,300

書名：2451 字數：140,000
開本：787×1092 1/16
印張：7

定价：0.86 元

目 录

前言.....	1
大气过程的控制观.....	顧震潮 2
在长期数值預報的一个綫性模式中大气对太阳实际直接輻射的响应.....	陈雄山 17
李雅普諾夫运动稳定性理論在气象学中的应用.....	巢紀平 32
北半球热源、热汇的年变和大气环流的年变.....	朱抱真 刘瑞芝 紀立人 38
个别年份冬季的大气加热場及其与环流演变的关系.....	紀立人 刘瑞芝 65
二层綫性模式里长期天气过程的一些計算.....	巢紀平 許有丰 90
考慮輻射和运动相互調整的一个长期預報数值模式.....	朱抱真 王宗皓 赵明哲 96

前　　言

大气过程有着很复杂的制約关系，无论对数值预报还是对大气环流的研究，都必須注意这些制約关系。并且應該指出，这些制約关系还是高度自动調整的。但是过去对这些制約关系缺少从自动調整的角度去加以分析和討論。本論文集前二篇論文即应用了控制論的觀点和方法，把大气看成是在太阳輻射的輸入下經常自动調整的系統的情况下，来探討大气过程的制約关系。并运用了自动調整理論中的传递函数分析方法，提出了长期天气数值預报綫性模式的合理設計問題和解决方法；討論了大气的不同情况对太阳輻射扰源的响应問題。但在这里仅分析了綫性系統的情况，对非綫性系統还必須作进一步深入的分析和研究。

第三篇論文运用了利雅普諾夫（Ляпунов）稳定性理論，討論了大尺度天气过程的不稳定問題，它可以不用微扰动的假定，因此在討論时更为合理。这个理論运用在气象学上也得到很有意义的結果。

大气不断地运动，不能不考虑对大气的实际加热情况。因此，为了探索长期天气預报和大气环流机制，必需研究加热作用。本論文集第二部分即研究了利用热力学方程和月平均气候資料計算北半球常年逐月 500 毫巴上热源分布、它的年变化的特点和对环流年变化的关系。并就个别年份的冬季热源分布对环流异常和流場关系进行了分析，得到了一些新的了解。此外，利用綫性化的两层模式討論了固定热源扰动对于流場作用的非定常問題。最后提出了一个考慮輻射等加热过程、摩擦作用和大气运动相互影响的动力模式，并用綫性化方法作了一些探討。

大 气 过 程 的 控 制 观

顧 震 潮

(中国科学院地球物理研究所)

提 要

大气可以看成是在太阳辐射的輸入下，經常自動調整的系統。根據這個觀點，作者提出了從控制論的角度來處理大氣過程的方法。這樣，人們對大氣過程的線性和非線性的反饋過程和反應情況就得到了新的了解。經初步的一些研究說明在太陽輻射輸入下，對北半球緯圈平均的500毫巴高度、氣溫的年變化和地面溫度年變化這些輸出來說，大氣可以看成是準線性系統；而對3—10天的中期變化來說，它是太陽輻射的異步激發，因而是非線性反應。這樣對某些天氣現象的長期預報模式線性化提供了理論基礎。根據自動調整理論還可以由大氣模式的傳遞函數簡便地直接了解模式的基本性能和本質，選定用某些線性模式描寫大氣的最適合的參數數值，可以免除試驗線性模式的繁重計算。根據傳遞函數直接進行電模擬，也為利用簡單的模擬計算機來幫助制作某些長期預報和大氣環流的一些問題提供了可能。

一、引 言

大家知道，大氣過程是複雜的。為了模擬大氣過程數值預報和大氣環流工作中提出了各種各樣的模式。這些模式有的是線性的，有的是非線性的。有的在非線性模式下求得的結果與線性的結果大有不同（如文獻[1]），而有的却與線性的几乎沒有根本的差別（如文獻[2]與[3]）。的確，一般說來，對於所研究的大氣過程究竟是線性的還是非線性的，從本質上來分析是比較不夠的。因此，選定線性或非線性模式的理由也就夠充分。無怪人們常常懷疑在這方面是否把一些模式不必要的複雜化，或者過分的簡單化了（例如，對線性模式預報價值的懷疑^[4]）。

對數值預報來說，近年來模式是不少的，但以線性模式來說，對各種模式的性能和本質一般不會有充分的分析，以致在試用以前，對這些模式對外界輸入的反應過程與大氣過程相似到什麼程度，了解得很是不夠。固然，通過對實例的計算，可以逐漸對模式的性能與本質有所了解，但即使以線性模式來說，計算工作也已經是十分繁重的了，因此這決不是多快好省的辦法。

此外，在模式確定下來後，如何選定模式中參數數值，使得所取的模式，在模式基本性能和本質所允許的範圍內，最接近於大氣過程的實際情況，也還是個問題。大家知道，到現在為止，這些參數具體數值的取定在很大的程度上是任意的[例如菲列普斯(Phillips)^[5]]

取的大尺度交換系数就比 A. 德芬 (Defant) 的小 40 倍!]。只是因为我們对模式的性能并不十分清楚，才使这样选定的参数数值竟沒有使我們明显地看出它的合理性或不合理性。

要很好的解决这个問題，用控制論或者自動調整理論来帮助解决是十分有利和必要的。大家知道大气过程相互之間的制約关系是十分密切的。它就象一个自动調整系統。而大气中各个单独的物理因子就象这机械系統的元件。我們的任务是摸清这个系統的底，并且用已有的元件組成为某种目的而选定的一些特定性能的系統。控制論所研究的正是如何把元件組合成稳定而有特定性能的系統^[6-8]。因此前面所說的問題應該是控制論范畴內的問題，應該是属于大气过程的控制論方面的新問題。这里我們就想尝试从控制論的观点來討論一下某些大气过程的性质和模式設計問題。作为一种边界科学，这方面的发展可能有它的特殊意义的。

二、大气对外界輸入的調整性能

大气这个自动系統最后輸入的是太阳輻射。各种气象要素都是輸出。在太阳輻射輸入下大气不断的在自动調整。然而大家知道，大气却始終是沒有达到它的“平衡状态”。它是一种“有差系統”，調整得并不那么好。同时，整个說来大气过程的問題是如何調整的問題，不是稳定不稳定的问题。因为一个不稳定的系統就根本談不上自动調整。

正象一般的自动調整系統一样，大气这个自动調整系統也可以按它的动态性质，即对輸入与輸出的依賴关系划分成各种元件。这些元件常常是方程式中的某一项或某几项。它常常代表一种物理因子或者这因子的一部分作用。值得提出的是这些元件中绝大部分是線性的。例如在一般形式的运动方程中局地加速項 $\partial u / \partial t$ 就是一种線性元件，它单独來說其实起着积分元件的作用。而湍流輸送，地轉偏向是一种線性稳定装置。对于大尺度准水平运动來說 $\frac{1}{\rho}$ 的变化很小，这时气压梯度力 $\frac{1}{\rho} \frac{\partial p}{\partial x}$ 等也可看成是一种線性元件。但是也有許多元件象平流、垂直輸送、压缩加热 ($p \operatorname{div} \mathbf{v}$) 以及輻射中的 η_r 或 $E (= \sigma T^4)$ 等*，就显然不是線性元件。一般說来这些項起的作用愈大，整个大气过程对太阳輻射的非線性响应也愈明显。

作为例子，这里特別值得稍为討論一下的是凝結加热这个元件。

另外凝結降水显然也是一种非線性元件。凝結加热作用通常可以写成

$$\epsilon_2 = \frac{\alpha L}{c_p T} \frac{dq}{dt}, \quad \alpha = \begin{cases} 0 & q \leq q_s, \\ 1 & q > q_s \end{cases}$$

q_s 是饱和比湿。因此，从 α 的性质看来凝結加热就象繼电器开关一样，是非線性元件，更不必說发生作用后和 $\frac{dq}{dt}$ 的联系了。但是降水对热量总的來說，在长时间內起的是扩散

* 符号依据文献[9]。

传送的作用，因此在线性模式中，可以适当扩大湍流系数来考虑它的作用。从另一方面看，凝结对大气过程起着负反馈的作用。这对大气起稳定的作用，特别是对高频扰动^[10]。在这方面也是与湍流作用相近似的。按照平衡情况，这只要把湍流系数扩大6倍就可以了，而各模式中湍流系数所取数值大有出入，远不止差6倍。所以一些线性模式不考虑降水而把温度计算得比较准确^[11]也不是没有道理的。

现在我们来看几种特殊的大气运动，看看它对太阳辐射响应的性质。首先是行星波运动。大家知道中纬度上的行星波频率 $\omega = \sqrt{\beta u} \approx 10^{-5}$ 秒⁻¹ 这数值与自然周期^[12]也比较符合，然而太阳辐射中输入并没有明显持久的相应频率。由此可见，这是一种异步激发，典型的非线性响应。所以我们要想由太阳辐射输入用线性模式来作行星波的研究是毫无希望的。大家知道行星波和中期预报的关系是十分密切的。由此可见，想由太阳辐射输入出发用线性模式来作中期预报是不可能的。

大气中的季节转移有着比较突然的变化^[13]，这种变化比太阳辐射来得更急。大家知道，一个周期变化愈突然，它在傅里叶表示式中的高频部分就更多。因此在线性模式中，即使假定太阳辐射中有这种高频成分的话，季节转移中气象要素的急变也意味着大气对高频输入的放大比低频输入更大，在第三节中可以见到，即使把大气看作线性系统的话，它也并不具备这种性能。由此可见，想用线性模式在平坦地面由太阳辐射计算出季节突变是不可能的。

此外，在太阳辐射变动对地球气象要素影响的一些研究中，常常看到位相转移^[14]也是典型的非线性现象。韵律的变化也可以看做太阳辐射输入年变频率 ω_1 的 $\omega_1/2$ 及 $\omega_1/4$ 两种超调和非线性响应的交替。大气气压的半日波也可以看成辐射输入日变化的异步激发。

也有一些输出是大气对太阳辐射输入线性响应的结果。大家知道，在线性系统下输出的频率与输入的相同，输出的振幅与输入的成正比，并且频率的单值函数系统的稳定性也与外界输入的频率和振幅无关，而只由系统本身来决定。这些特征是工程上最便于检验线性系统的依据。我们先来看一下月平均温度的纬圈平均值。根据米兰科维奇 (Milankovitch)^[15] 所给的太阳辐射量，我们作了辐射日总量的月平均值，定出了日射年变化在各纬度的较差 ΔW (最大—最小)，然后我们把各纬度上月平均地面气温 7 月—1 月的较差(参见文献[16]) ΔT ，点画在图上(图 1)。从图上可以看出，在北半球它们大致成线性关系，不但输出与输入频率基本相同，并且除高纬度地区以外，振幅大致成正比。这说明在北半球我们不难用某种线性模式，由太阳辐射输入求出地面气温输出。相反的，对南半球来说 ΔT 与 ΔW 显然不成线性正比，也就是说地面气温对辐射输入的响应不是线性的，因此，我们不能靠一个线性系统由辐射输入得出正确的地面温度。事实上也正是如此。根据马什科维奇 (Машкович)^[17] 用线性模式从太阳辐射分布，计算所得的地面气温纬圈分布可以看出，对于北半球来说冬夏都比较符合，而对于南半球就比较差(图见文献[17]原文)。把马什科维奇计算所得的 ΔT 对 ΔW 点画出来，可以看出(图 2)，它

們之間除了高緯度以外，的确是大致成正比的。由此可見，不論如何选取模式的參數，只要仍然用線性模式，是无法由太陽輻射求出南半球地面氣溫的緯圈分布和它的年變化來的。

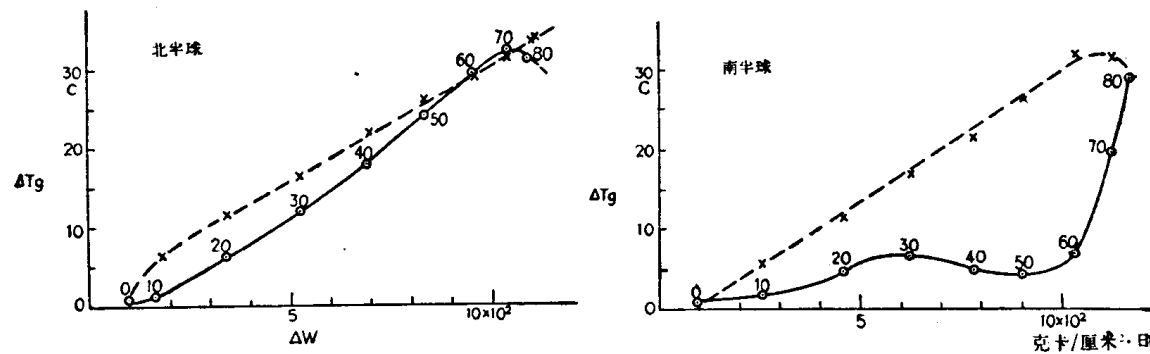


图 1 緯圈平均地面氣溫年較差 ΔT (7月-1月) 与輻射年較差 ΔW (最 大月-最小月) 的关系

实綫为測得值(取自文献[16])虚綫为算得值(取自文献[17])

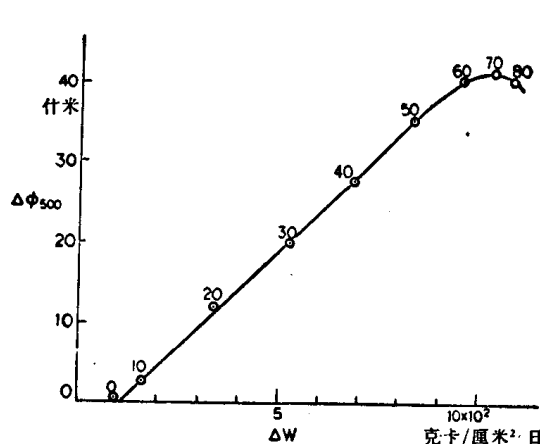


图 2 北半球緯圈平均 500 毫巴高度測得年較差 $\Delta\phi_{500}$ (7月-1月), 与 ΔW 的关系
(高度值取自文献[18])

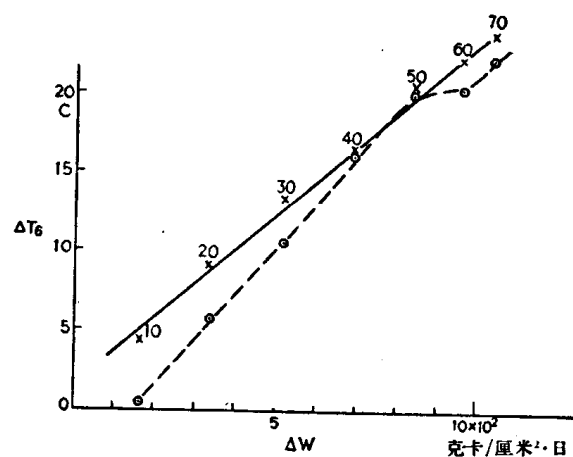


图 3 北半球緯圈平均 6 千米上气温年較差 ΔT_6 (1月-7月) 对 ΔW 的关系
(T_6 取自文献[16])虚綫是馬什科維奇的算得值

这个事實和我們一般的概念頗有一个距离。一般認為南半球西风气流比較強，西风波动比較平浅，應該更适合于用線性模式来处理。但是正由于风速較大，大尺度乱流較小，結果非線性的作用就比線性項的作用相对的大了不少，以至即使对緯圈平均的地面氣溫來說都对輻射有明显的非線性响应。

除了地面氣溫以外，北半球高空 500 毫巴上的高度緯圈平均和 6 千米上的溫度緯圈平均的年較差，除了极区以外，也大致与 ΔW 成正比(图 2, 3)，因此是可以用線性模式由太陽輻射輸入来求的。象馬什科維奇計算出来的 6 千米上的溫度年較差也大致与 ΔW 成正比，与实况接近。而象緯圈平均地面氣压、降水、高空風等(图 4—6)的年較差就不是如此，非線性很显著，因此用線性模式从太陽輻射来求是不合适的。馬什科維奇所求出的

西风风速分布，因此不是很合适的。計算所得的 Δu 与 ΔW 的線性关系与实际情况相差是相当远的。

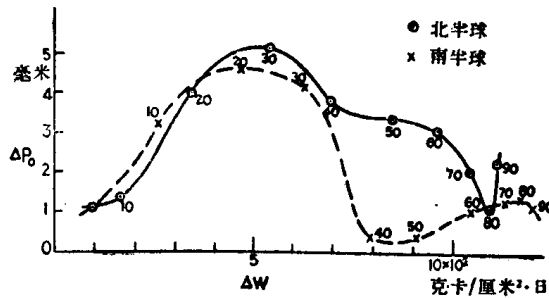


图 4 緯圈平均地面气压年較差 ΔP_0 (7月—1月)与 ΔW 的关系
(P_0 取自文献[19])

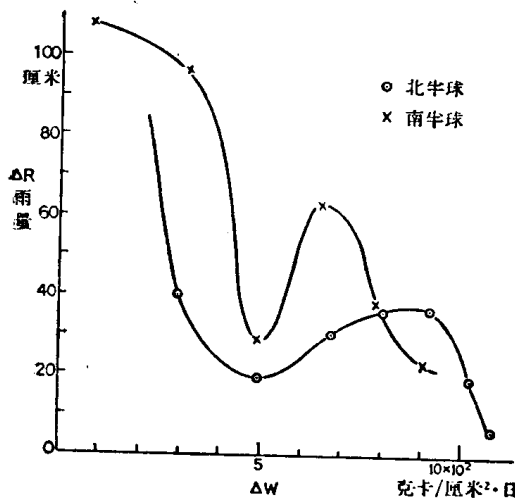


图 5 緯圈平均降水量年較差 ΔR (最大月—最小月)与 ΔW 的关系
(R 取自文献[20])

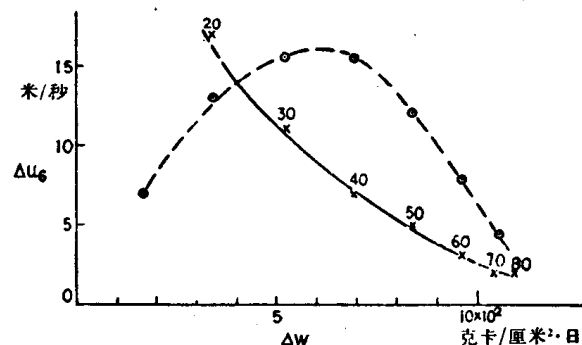


图 6 北半球平均 6 千米高空风年較差 Δu_6 (7月—8月)与 ΔW 的关系
(資料取自文献[17], 实綫是馬什科維奇的算得值^[16])

同样，我们可以看一下北半球多年月平均 500 毫巴高度和温度分布是否也能用線性模式由太阳輻射輸入算出来。图 7 是东經 140° , 东經 10° 与西經 80° 的 7 月平均 500 毫巴高度年差对 ΔW 的分布。图 8 是东經 140° 与西經 80° 上 500 毫巴月平均气温年差与 ΔW 的分布。从图上可見在北緯 50° — 60° 以南 20° 以北，这些輸出都对太阳輻射作線性响应。由此可見，有希望可以根据線性模式，由太阳輻射来算出北半球中緯度月平均 500 毫巴气温和高度的年变。

从这里也可以得到另一个結論。既然凝結蒸发是非線性过程，而月平均温度对太阳輻射是線性响应，那么对于月平均溫度來說(可能热带地区除外)，蒸发、凝結(降水)对它的作用不大，或者在比較长的时间間隔中只起了線性的作用，这是上面所提出的觀点得到另一个印証。

对各別年份，这些气象要素月平均值也对太阳輻射作線性响应。我們可以看一下这些气象要素各年月平均值变化的頻譜。根据气候学上的一些研究^[24]，可以知道在中緯度各

地的地面气温月平均值变化的周期图上最主要的频率仍是年变化的频率 ω_1 ，只有地面温度的年振幅占绝对优势，它比周期一年以上的成分大 10 倍到 20 倍。但是对降水和气压

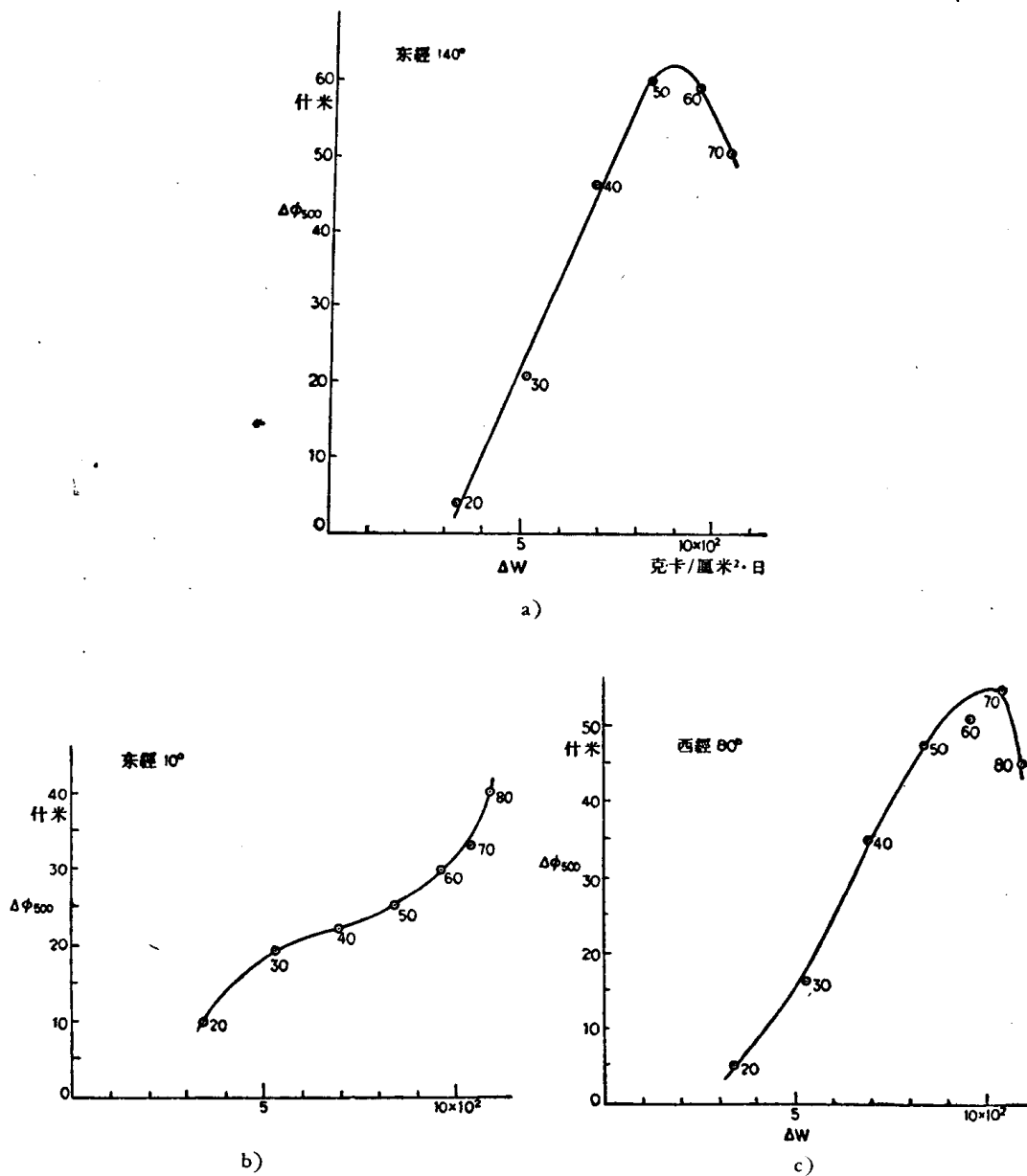


图 7 北半球 500 毫巴月平均高度年较差 $\Delta\phi_{500}$ (7 月 - 1 月) 与 ΔW 的关系
(ϕ_{500} 取自文献[21]) a) 沿东经 140° b) 沿东经 10° c) 沿西经 80°

来说，年变化与更低频成分的振幅比例是 3:1 到 3:2。因此，降水月总量的变化非线性是很强的(图 9)。对于温度月平均值来说，它的高频率部分(周期小于一年)也是不大的，例如在我国^[25] 和日本^[26]，在热带以外地区频率 $2\omega_1$ 的振幅是 ω_1 的 $1/10$ — $1/20$ 频率， $3\omega_1$ 也大致如此^[26]。

大家知道，长期天气过程终究不能脱离热量的变换，因而离不了太阳辐射。但是由于温度对辐射的准线性响应，对中纬度来说，我们完全可以用线性模式来处理它。

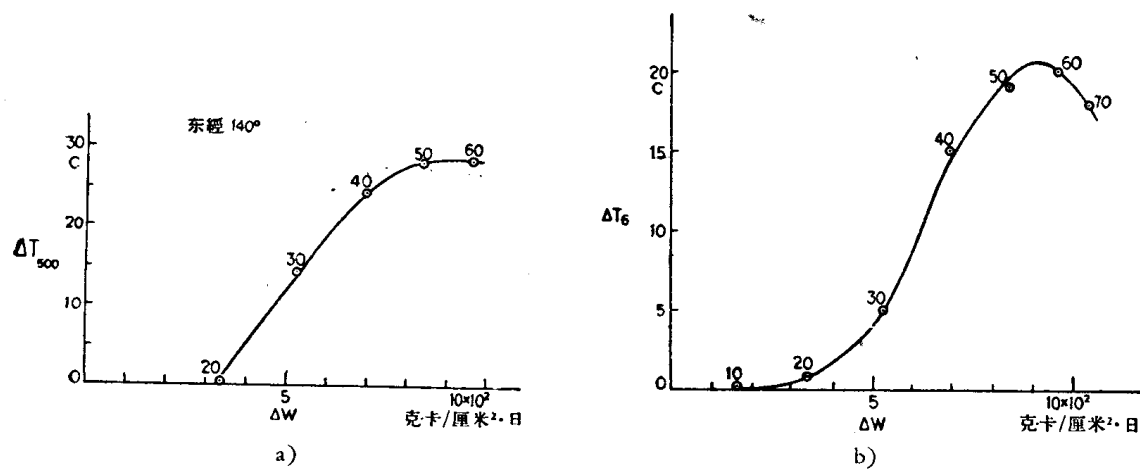


图 8 北半球 500 毫巴月平均气温年较差 ΔT_{500} (7月—1月)与 ΔW 的关系
a) 沿东经 140° T_{500} 取自文献[22] b) 沿西经 80° T_6 取自文献[23]

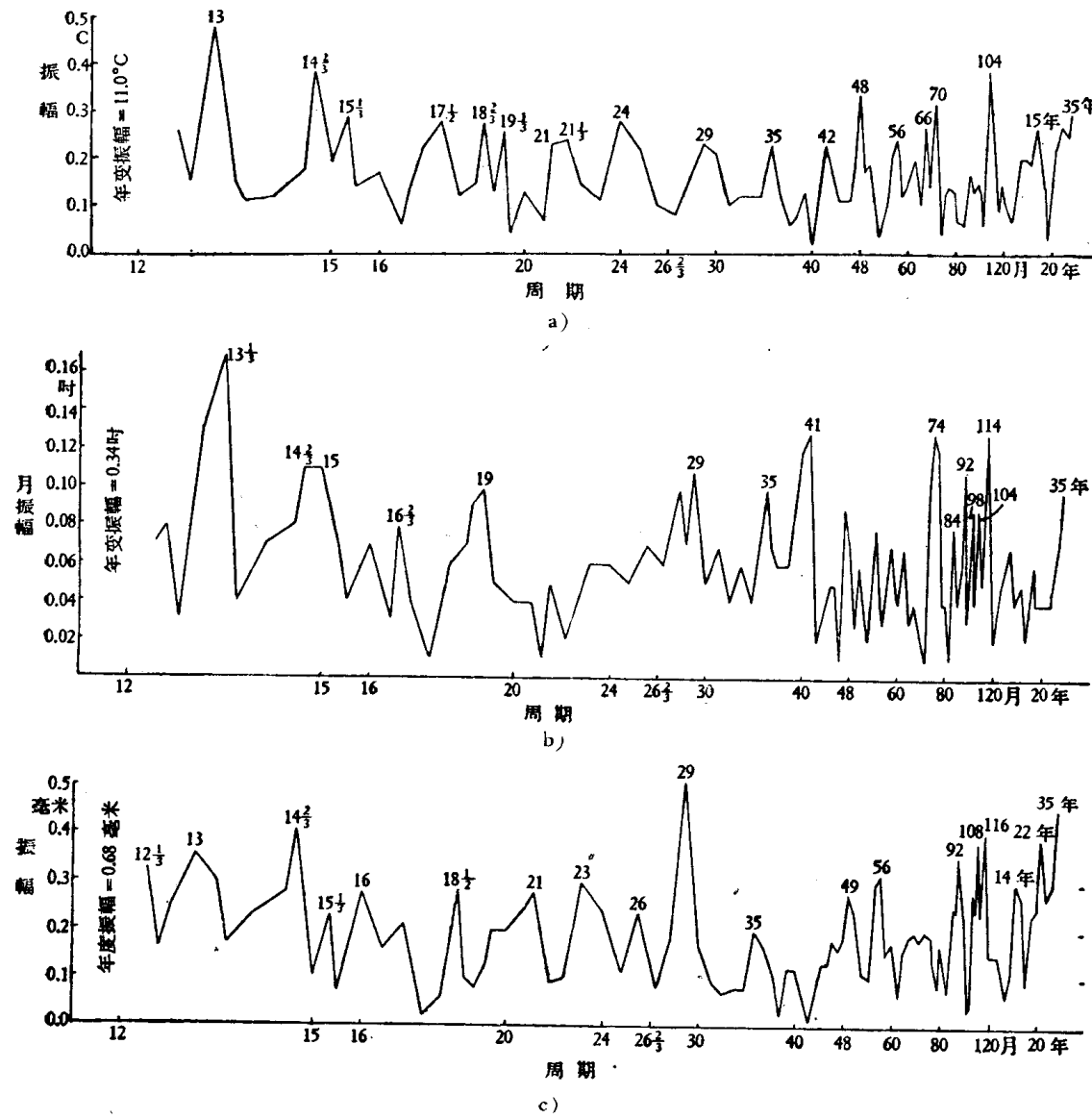


图 9 中纬度气象要素的周期图
a) 斯德哥尔摩气温 b) 伦敦雨量 c) 巴黎气压(取自文献[24])

在这里我們所討論的只是大气作为开环系統对最后的輸入即太阳輻射的响应。但是在研究中也可以把近似的閉环系統来代替。例如可以用大气实际受热量作为輸入，来研究大气对它的响应。对某些特殊問題(例如，短期預報問題)，还可以用閉环系統来表示大气系統，研究几个元件之間的相互影响。例如大气实际所接受的太阳总輻射是大气影响的結果，也可以作为輸入来考慮。但是根据別尔良德(Берлянд)^[27]的材料，它对米兰科維希所算出的理想的太阳輻射分布的关系，它們之間的綫性响应并不太好(图 10)。

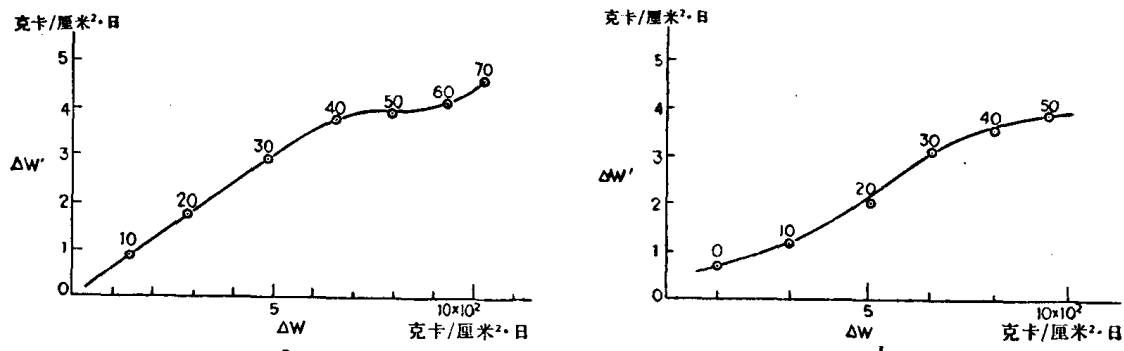


图 10 緯圈平均的地面太阳总輻射量年較差 $\Delta W'$ 与 ΔW 的关系
a) 沿东經 140° b) 沿西經 80°

主要的是，弄清楚大气自动調整的实际性能和大气响应的实际情况，然后，按照这些資料來設計我們的模式。就象在自動調整理論中只确定系統的運轉性能，再确定所需要的元件和它們組合的方式一样。这可以使我們的模式容易接近实际得多。

这样我們有必要了解一下大气响应的实际情况。严格說來大气过程是非綫性的，因此它的頻率特性曲綫要按外来輸入的振幅和頻率而定，所得到的应是一个曲綫族。但是太阳(可見)輻射輸入的振幅与頻率基本上不变。对大尺度大气过程的平均情況來說，我們姑且把大气看作綫性系統。但就地面溫度來說，年变化成分的响应由图 1 可知，位相落后是一个月，中緯度日变化成分的响应大致是 $7^{\circ}\text{C}/\text{卡}\cdot\text{分}^{-2}\cdot\text{厘米}^{-2}$ ，位相落后大致是一小时。更高的頻率的变化只有日蝕时最明显。根据觀測^[28]，响应大致有 $4^{\circ}\text{C}/\text{卡}\cdot\text{分}^{-2}\cdot\text{厘米}^{-2}$ 位相落后，時間約 15 分鐘 (全蝕始末共約二小

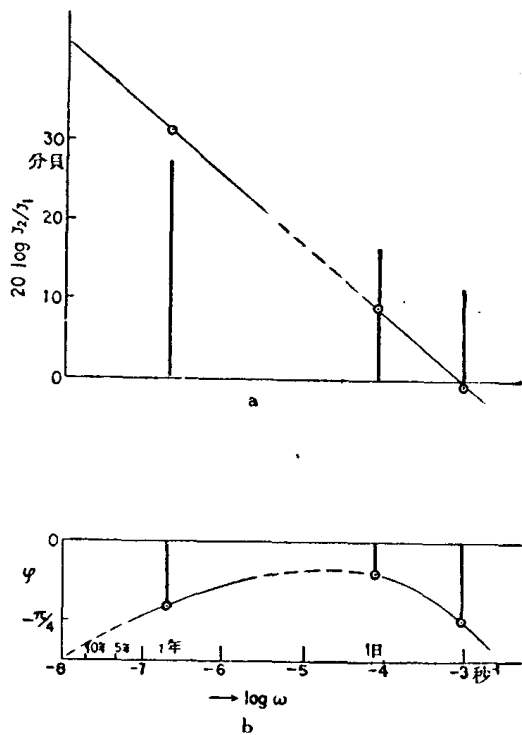


图 11 地面气温与太阳輻射輸入的頻率特性
a) 对数振幅特性 b) 相位特性

时)。这样我們大致有图 11 上的三个譜綫。明显的是地面溫度对太阳輻射的响应，在頻率愈低时，放大愈厉害。对于 500 毫巴高度和溫度來說情形也很类似*。

这就是設計开环模式的基本資料。至于如何进行設計，我們将在下节討論。

三、綫性模式設計問題

一般說来，大气过程的非綫性是經常的、普遍的、无条件的，綫性是暫時的、局部的、有条件的。然而，非綫性响应也可以綫性化。在动力气象学中用的对西风基本气流的扰动法，不是其中最简单的一个。对于月平均溫度的年变化等來說，象苏联作者^[30]那样采用气候平均量的場作为基本場效果更好，也許用天体力学^[31]中使运动参数(如振幅頻率)作微小变化也是一个办法。

对于行星波來說，在两种情形下可以考慮綫性問題，一是研究它的自由振蕩；根本不用太阳輻射輸入。另外一个是討論它的定常振蕩(由地形等形成)，即是作为对边界条件或預先給定的能造成行星波的定常加热場(沿緯圈上各地不同)的响应。

也可以研究模仿电子学上的办法，对大气系統加上一个高頻大振幅輸入^[6]而把非綫性問題变成綫性問題來考慮**。

仅仅是小振幅并不能总保証它是綫性的。只有研究自由振蕩时，小振幅才可以說是綫性的。如果考慮外界某种輸入，而輸出的振幅虽然不大，但頻率与輸入完全不同(例如次調和頻率)，那末总不能把这大气过程看成是綫性的。

現在我們來討論綫性化后的长期預报模式，仍从渦度方程出发。因为現在还没有具体理由說明渦度方程的完全形式，不适合于长期預报。无论如何对大尺度长时期的运动，由尺度理論来看幅散总比渦度小好得多。不同的是在目前看来，大气加热場这个能源还得加以考慮，因此模式就必須是阻尼的***。

自動調整理論中的方法，基本上就是根据系統的實驗頻率特性或由系統运动方程得来的传递函数对調整系統作定性分析，它的优点就是不用先具体求出系統的运动方程的完全解，也不用作實驗問題(如单波解)，就可以定出系統稳态輸出的放大性質、相位性質、調整過程中的超調性質以及系統的稳定性和各个参数对这些性質的作用。因此可以為設計模式提供有效的方法。大家知道在工程中不先充分設計好，而来試造实际系統，就会造成极大的浪费。

* 順便指出，韦克斯勒(Wexler)^[29]曾实质上假定了大气平均溫度場对太阳輻射的綫性响应，但他的图 8 实际上不能用来找出大气溫度对太阳輻射的真正响应放大。此外，他計算沿經綫的平均溫度时，所取的緯度間隔包括了高緯度地带，这些地方的溫度还不一定对太阳輻射作綫性响应。因此，他所提出的数字是有疑問的。他也不曾注意到对不同頻率的响应，放大系数可能有所不同。

** 平滑化在这里并不能起所希望的綫性化作用，因为象次調和頻率的波动是长周期的。它在平滑化后反而更为突出，也就是非綫性更为突出。

*** 关于长期過程的可預报性也是一个有意思的问题。这里只想提出，不論每天的运动扰动如何多，大气如何不稳定，长期的統觀過程还是可以报的。正象小尺度系統很多，发展很快而 24 小时預报基本上仍是可以做出一样。

現在我們來分析一個描寫長期過程的兩層模式，模式中假定熱源是固定的，不受運動的影響。但這一點沒有原則性的限制，在後面可以看到，在常系數的線性系統里，運動對輻射等加熱的反饋並不能引起系統結構原則上的改變。

我們在這裡作為例子，暫取對緯圈環流作小擾動的線性化。按氣壓把大氣作四個間隔（如圖12），在1—3層上渦度方程為：

$$\left(\frac{\partial}{\partial t} + u_1 \frac{\partial}{\partial x} \right) \frac{\partial^2 \phi_1}{\partial x^2} + \beta \frac{\partial \phi_1}{\partial x} - f_0^2 \frac{\omega_2}{p_2} = 0, \quad (1)$$

$$\left(\frac{\partial}{\partial t} + u_2 \frac{\partial}{\partial x} \right) \frac{\partial^2 \phi_2}{\partial x^2} + \beta \frac{\partial \phi_2}{\partial x} + f_0 \frac{\omega_2}{p_2} = 0, \quad (2)$$

其中 ϕ_1, ϕ_2 是擾動高度場， $\beta \equiv \partial f / \partial y$ ， f_0 是取定的地轉參數值， $\omega \equiv dp/dt$ 。取2層上的熱量輸入方程，

$$\frac{f_0^2}{p_2} \omega_2 = \lambda^2 \left(\frac{\partial}{\partial t} + u_1 \frac{\partial}{\partial x} \right) (\phi_1 - \phi_3) + \lambda^2 (u_1 - u_3) \frac{\partial \phi}{\partial x} - \frac{\lambda^2 R}{c_p} Q_1(x, t), \quad (3)$$

其中 $Q \equiv \frac{dq}{dt}$ 是熱源， $\lambda^2 = \frac{\theta_2}{\theta_1 - \theta_3} \frac{f_0^2}{\phi_1 - \phi_3}$ 是參數， θ 是位溫。暫且取 $t = 0$ 時， $\phi_1 = \phi_3 = 0$ ，因為這不影響問題的普遍性。不難看出，如果不取這條件，只需在解中加上一項，而這項又很快地隨時間而減小。把以上各式消去 ω_2 ，用拉普拉斯變換，並假定

$$Q = \sum_{m=-\infty}^{+\infty} Q_m(t) e^{imx}, \quad \phi = \sum_{m=-\infty}^{+\infty} \phi_m(t) e^{imx}, \quad (4)$$

$$(p + \alpha'_1) \bar{\phi}_{1m} - (\alpha p + \alpha''_1) \bar{\phi}_{3m} = \frac{R \lambda^2}{c_p} \frac{1}{m^2 + \lambda^2} \bar{Q}_m, \quad (5)$$

$$(\alpha p + \alpha''_3) \bar{\phi}_{1m} - (p + \alpha'_3) \bar{\phi}_{3m} = \frac{R \lambda^2}{c_p} \frac{1}{m^2 + \lambda^2} \bar{Q}_m, \quad (6)$$

其中帶“—”的是原來的量的拉氏變換。各 α 是常數，由此解出

$$\bar{\phi}_{jm} = \frac{R \lambda^2}{c_p (1 - \beta_m^2) (m^2 + \lambda^2)} \frac{\mu_j - i s_{jm}}{p^2 + 2i \alpha_m p + b_m^2} \bar{Q}_m, \quad j = 1, 3, \quad (7)$$

其中

$$\beta_m = \lambda^2 / (\lambda^2 + m^2), \quad \mu_m = 1 - \beta_m,$$

$$s_{1m} = (\beta + \lambda^2 u_3) \frac{m^2}{m^2 + \lambda^2} - m u_3,$$

$$s_{3m} = (\beta + \lambda^2 u_1) \frac{m^2}{m^2 + \lambda^2} - m u_1,$$

$$\alpha_m = m \bar{u} \left[1 - \frac{\beta}{\bar{u}} \frac{m^2 + \lambda^2}{m^2 + 2\lambda^2 m^2} \right],$$

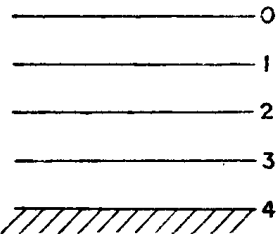


圖 12 二層模式中大氣的分層

$$b_m^2 = \frac{(\beta^2 - \lambda^2 u_T^2) \left(\frac{m^2}{m^2 + \lambda^2} \right)^2 - (2\beta\bar{u} + \lambda^2 u_T^2) \frac{m^2}{m^2 + \lambda^2} - u_1 u_3 m^2 \left[\left(\frac{\lambda^2}{m^2 + \lambda^2} \right)^2 - 1 \right]}{\left(\frac{\lambda^2}{m^2 + \lambda^2} \right)^2 - 1},$$

这里 $\bar{u} = (u_1 + u_2)$ 。

現在我們來研究 ϕ 对 Q 的响应。为此，我們需要研究传递函数

$$F_i(p) = \frac{R\lambda^2}{c_p(1 - \beta_m^2)(m^2 + \lambda^2)} \cdot \frac{\mu_{m^n} - is_{jm}}{p^2 + 2ia_m p + b_m^2}. \quad (8)$$

作为例子，取 $m = 3$ (全球三个波)， $\varphi = 45^\circ$ ， $u_1 = 20$ 米/秒， $u_3 = 10$ 米/秒， $\lambda^2 = 30.43$ 弧度 $^{-2}$ ， $\beta = 6.28$ 弧度 $^{-1} \cdot \text{日}^{-1}$ ， $R\lambda^2/c_p = 8.69$ 时，

$$\mu_m = 0.228, \quad s_{1m} = 0.344 \text{ 日}^{-1}, \quad s_{3m} = 0.213 \text{ 日}^{-1}, \quad \beta_m = 0.772$$

$$a_m = -0.322 \text{ 日}^{-1}, \quad b_m^2 = 1.934 \text{ 日}^{-1}, \quad (1 - \beta_m^2)^{-1}(m^2 + \lambda^2)^{-1} = 0.0627.$$

先看稳定性，容易看出，由于 $a_m < 0$ ， $F_i(p)$ 方程式沒有实数根，它的极点是在 $-i(a_m \pm \sqrt{a_m^2 + b_m^2})$ ，因此这输出是稳定的。

再看放大性质。我們先把 $i\omega$ 代替 $F(p)$ 里的 p ，即考慮輸入是等幅周期函数，而研究稳态輸入量。取 $F(i\omega) = Ae^{i\varphi}$ ，这里 A 就是放大系数，而 φ 就是输出对輸入的相角。这样

$$F_i(i\omega) = \frac{R\lambda^2}{c_p(1 - \beta_m^2)(m^2 + \lambda^2)} \frac{i(\mu_m\omega - s_{jm})}{b_m^2 - 2a_m\omega - \omega^2}. \quad (9)$$

而放大系数是：

$$|F_i(i\omega)| = \frac{R\lambda^2}{c_p(1 - \beta_m^2)(m^2 + \lambda^2)} \frac{\mu_m\omega - s_{jm}}{b_m^2 - 2a_m\omega - \omega^2}. \quad (10)$$

在长期預報所关心的年变化輸入 $\omega_1 = 1.71 \times 10^{-2}$ 日 $^{-1}$ ，对第一层的长期变化

$$|F_1(i\omega_1)| = 6 \text{ 什米/卡}\cdot\text{厘米}^{-2}\cdot\text{分}^{-1},$$

而

$$|F_3(i\omega_1)| = 4 \text{ 什米/卡}\cdot\text{厘米}^{-2}\cdot\text{分}^{-1},$$

又現在 $\mu\omega_1 - s_{jm} < 0$ ，故 $\varphi = -\pi/2$ ，即落后三个月。

对 500 毫巴层來說取 $|F_1(i\omega_1)|$ 与 $|F_3(i\omega_1)|$ 的平均得放大系数为 5 什米/卡·厘米 $^{-2}\cdot\text{分}^{-1}$ 。在实际大气中根据已知材料^[33]，500 毫巴高度对冷热源的响应是 60 什米/卡·厘米 $^{-2}\cdot\text{分}^{-1}$ ，相差約十倍*， φ 大約落后一个月(注意，冷热源不是指太阳輻射)。由此可見，这模式的响应情况不符合大气实际情况。

容易看出，由于 $F(p)$ 的构造，我們虽可以改变极大系数，但无法用改变参数的方法来改变相位角。

也可以看出，由于 $F(p)$ 的零点在 is_{jm}/μ_m 的地方，对周期 $T_1 = 2\pi\mu_m/s_{1m} = 4$ 日的

* 用这模式由巢紀平等^[32]計算过一个特解，这个方程对时间一个月后計算得的放大系数是 8 什米/卡·厘米 $^{-2}\cdot\text{分}^{-1}$ 。

輸入，輸出 ϕ_1 就沒有响应。而对日变 $\omega_2 = 6.28 \text{ 日}^{-1}$ 來說

$$|F_1(i\omega_2)| = 1 \text{ 什米/卡}\cdot\text{厘米}^{-2}\cdot\text{分}^{-1},$$

这还是接近实际情况的。但总的來說，这模式是不合式的。

上面的分析，如果直接解原来的方程組进行計算来了解，要費事得多。

現在我們引进外来的太阳輻射 W 作为輸入，考慮輻射過程、渦度和热量的湍流輸送、地面摩擦等。

$$\left(\frac{\partial}{\partial t} + u_1 \frac{\partial}{\partial x} \right) \left[\frac{\partial^2 \phi_1}{\partial x^2} - \lambda^2 (\phi_1 - \phi_3) \right] + \beta_1 \frac{\partial \phi_1}{\partial x} - A\nu \frac{\partial^4 \phi_1}{\partial x^4} + \lambda^2 A_r \frac{\partial^2 (\phi_1 - \phi_3)}{\partial x^2} + \frac{4\lambda^2 \lambda_1 \bar{T}^3}{R} (\phi_1 - \phi_3) = -\lambda^2 \lambda_1 W', \quad (11)$$

$$\left(\frac{\partial}{\partial t} + u_3 \frac{\partial}{\partial x} \right) \left[\frac{\partial^2 \phi_3}{\partial x^2} + \lambda^2 (\phi_1 - \phi_3) \right] + \beta_3 \frac{\partial \phi_3}{\partial x} - A\nu \frac{\partial^4 \phi_3}{\partial x^4} + \frac{3}{2} k \frac{\partial^2 \phi_3}{\partial x^2} - \frac{k}{2} \frac{\partial^2 \phi_3}{\partial x^2} - \lambda^2 A_r \frac{\partial^2 (\phi_1 - \phi_3)}{\partial x^2} - \frac{4\lambda^2 \lambda_2 \bar{T}^3}{R} (\phi_1 - \phi_3) = \lambda^2 \lambda_1 W'. \quad (12)$$

初始条件暫且仍取

$$t = 0, \quad \phi_1 = \phi_3 = 0, \quad \beta_1 = \beta + \lambda^2(u_1 - u_3), \quad \beta_3 = \beta - \lambda^2(u_1 - u_3),$$

λ_1 是常数。由此

$$\frac{d\phi_{1m}}{dt} - \beta_1 \frac{d\phi_{3m}}{dt} + \alpha'_1 \phi_{1m} - \alpha''_1 \phi_{3m} = \lambda_1 \beta W_m, \quad (13)$$

$$\frac{d\phi_{3m}}{dt} - \beta_3 \frac{d\phi_{1m}}{dt} + \alpha'_3 \phi_{3m} - \alpha''_3 \phi_{1m} = -\lambda_1 \beta W_m, \quad (14)$$

其中 $\beta = \lambda^2/\lambda^2 + m^2$ ，各 α 中含有 A_r , λ^2 , m , λ_2 , λ_1 , \bar{T} , k , u_1 , u_3 等参数。

$$\bar{\phi}_{im} = \frac{\lambda_1}{1 - \alpha^2} \frac{\mu_m p + s_1}{p^2 + Ap + B} \bar{W}_n, \quad (15)$$

其中 $\mu_m = 1 - \beta_m$, s_1 , A , B 都是复数。这个方程在结构上与朱抱真同志考慮輻射的線性模式^[33]是一样的。对边界条件的传递函数也有相似的构造。

由于公式中 s_1 , A , B 都是复数，稳定輸出 ϕ_1 的相角就不一定是 $-\pi/2$ ，因而这模式更能接近实际大气。

在放大系数方面，我們有更多的參变量可以調節，使它更合于实际情况，在这里我們需要提出的是，應該放弃过去那种先取参数值，再解出方程，大量試算例子的办法来逐步改进参数和模式。相反的，我們應該由传递函数直接研究它在这种构造下使模式頻率特性与大气响应性质最接近的参数值是什么，也就是說我們不采取理論工作中的分析办法，而象工程上那样配合實驗数据，求参数的經驗数值。这好象数学中用低次多项式在自变数的某个間隔中作一个复杂的函数最优逼近一样，最优逼近多项式的系数自然不是原来函数幂級数展开式里的系数。在我们的模式中这些系数完全可以由所給的頻率特性(各个輸入頻率下的放大系数及相角)來决定。